

## ТЕРМОЭЛЕКТРИЧЕСКИЕ СВОЙСТВА МНОГОКОМПОНЕНТНЫХ ТВЕРДЫХ РАСТВОРОВ НА ОСНОВЕ ТЕЛЛУРИДА ВИСМУТА

© В.А.Кутасов, Л.Н.Лукъянова

Физико-технический институт им. А.Ф.Иоффе Российской академии наук,  
194021 Санкт-Петербург, Россия  
(Поступила в Редакцию 20 марта 1996 г.)

Исследованы термоэлектрические свойства многокомпонентных твердых растворов на основе теллурида висмута. Обсуждаются особенности поведения эффективной массы плотности состояний, подвижности носителей заряда и теплопроводности кристаллической решетки при различных изовалентных замещениях атомов в  $\text{Bi}_{2-z}\text{Sb}_z\text{Te}_{3-x-y}\text{Se}_x\text{S}_y$  ( $0 \leq z \leq 0.6$ ,  $0 < x + y \leq 0.9$ ).

Твердые растворы на основе теллурида висмута *n*-типа  $\text{Bi}_2\text{Te}_{3-x}\text{Se}_x$  являются наиболее распространенными материалами, которые используются в термоэлектрических преобразователях энергии различного назначения. Наряду с данными об этих материалах в литературе периодически появляются сведения о более сложных составах твердых растворов, которые образованы при замещении атомов как в анионной, так и в катионной подрешетках теллурида висмута [1–3]. Эти составы имеют высокие значения термоэлектрической эффективности при 300 К [1,2], а также в области более низких температур [3]. При этом, как правило, авторы не обсуждают особенностей поведения термоэлектрических свойств этих многокомпонентных твердых растворов в более широкой области составов, чем предлагаемый для использования конкретный материал. В настоящей работе изучались многокомпонентные твердые растворы *n*-типа на основе теллурида висмута, области существования которых были определены в [4–6]. Исследовались следующие системы многокомпонентных твердых растворов:  $\text{Bi}_2\text{Te}_{3-x-y}\text{Se}_x\text{S}_y$  (при  $x = y$  и  $x = 2y$ ,  $0 \leq x + y \leq 0.9$ ),  $\text{Bi}_{2-z}\text{Sb}_z\text{Te}_{3-x-y}\text{Se}_x\text{S}_y$  (при  $x = y$ ,  $x = 2y$ ,  $0 \leq x + y \leq 0.9$ ,  $0 \leq z \leq 0.6$ ), а также два твердых раствора ( $\text{Bi}_{2-z}\text{Sb}_z\text{Te}_{3-y}\text{S}_y$  ( $0 \leq y \leq 0.3$ ,  $z \leq 0.2$ ) и  $\text{Bi}_2\text{Te}_{3-y}\text{S}_y$  ( $0 \leq y \leq 0.3$ )), не содержащих Se.

Образцы были получены методом направленной кристаллизации в условиях, исключавших возникновение концентрационного переохлаждения [7]. Скорости кристаллизации не превышали 0.5 mm/min, градиент температуры на фронте кристаллизации был не более 200 K/cm. Плоскости спайности в образцах были ориентированы вдоль оси кристаллизации, блочно-кристаллическая структура образцов обеспечи-

вала (с помощью электроискровой резки) возможность получения монокристаллов для исследования анизотропии термоэлектрических свойств. Большинство измерений электропроводности, теплопроводности и коэффициента термоэдс было выполнено на цилиндрических образцах (диаметр 10 mm, длина 10–12 mm). Тепловой поток и электрический ток были направлены вдоль плоскостей спайности. Все измерения выполнены при комнатной температуре.

Известное выражение для термоэлектрической эффективности

$$Z = \frac{\alpha^2 \sigma}{\kappa}, \quad (1)$$

где  $\sigma$  и  $\kappa$  — электро- и теплопроводность,  $\alpha$  — коэффициент термоэдс, можно записать, пренебрегая величиной электронной части теплопроводности  $\kappa_e$ , в другом виде:

$$Z \sim \frac{(m^*/m)^{3/2} \mu_0}{\kappa_L}, \quad (2)$$

где  $m^*$  — эффективная масса плотности состояний,  $\mu_0$  — подвижность носителей заряда с учетом вырождения,  $m$  — масса свободного электрона,  $\kappa_L$  — теплопроводность кристаллической решетки. Выражение (2) связывает термоэлектрическую эффективность с величинами, которые определяются рассеянием электронов и фононов, а также особенностями зонной структуры материала. Величину  $(m^*/m_0)^{3/2} \mu_0$  можно рассчитать из измерений  $\alpha$  и  $\sigma$  при определенных предположениях относительно механизма рассеяния носителей заряда.

В большинстве работ предполагается, что преобладающим является акустический механизм рассеяния носителей заряда. При этом величина параметра рассеяния  $r = -0.5$  ( $r$  — показатель степени в зависимости времени релаксации  $\tau$  от энергии:  $\tau = \tau_0 e^r$ ). Значение  $r = -0.5$  может быть использовано для качественных оценок. В этом случае влияние примесного и межзонного рассеяния не учитывается. Для более детального анализа термоэлектрических свойств необходимо учитывать эффективный параметр рассеяния, значения которого  $r_{\text{eff}}$  изменяются в пределах от -0.4 до -0.8 [8].

Величина  $(m^*/m)^{3/2} \mu_0$  может быть рассчитана с помощью выражений для концентрации носителей заряда  $n$  и коэффициента термоэдс  $\alpha$  в случае произвольного вырождения

$$n = \frac{4(2\pi m^* k_0 T)^{3/2}}{\sqrt{\pi} h^3} F_{1/2}(\eta, r), \quad (3)$$

$$\alpha = \frac{k_0}{e} \left[ \frac{(2r+5)}{(2r+3)} \frac{F_{r+3/2}(\eta)}{F_{r+1/2}(\eta)} - \eta \right] \quad (4)$$

и соотношения

$$\sigma = ne\mu, \quad (5)$$

где  $\eta$  — приведенный химический потенциал,  $F_r(\eta)$  — функция Ферми.

$$F_r(\eta) = \int_0^\infty x^r [\exp(x - \eta) + 1]^{-1} dx. \quad (6)$$

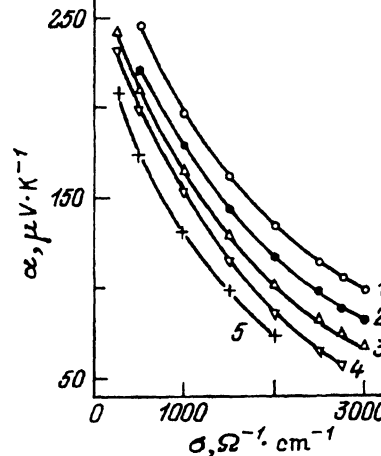


Рис. 1. Зависимости коэффициента термоэдс  $\alpha$  от электропроводности  $\sigma$  в твердом растворе  $\text{Bi}_{2-z}\text{Sb}_z\text{Te}_{3-x-y}\text{Se}_x\text{S}_y$ .

$x = y$ : 1 — 0.15, 2, 4 — 0.3; 3, 5 — 0.45.

$z$ : 4 — 0.4, 5 — 0.6.

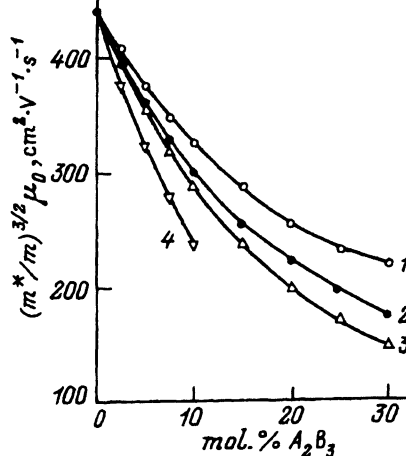


Рис. 2. Зависимость параметра  $(m^*/m)^{3/2} \mu_0$  от состава твердого раствора  $\text{Bi}_{2-z}\text{Sb}_z\text{Te}_{3-x-y}\text{Se}_x\text{S}_y$ .

1 —  $(\text{Bi}_2\text{Te}_3)_{1-x-y}(\text{Sb}_2\text{Se}_3)_x$ , 2 —  $(\text{Bi}_2\text{Te}_3)_{1-x-y}(\text{Sb}_2\text{Se}_3)_x-(\text{Sb}_2\text{S}_3)_y$  при  $x = 2y$ ,  
3 —  $(\text{Bi}_2\text{Te}_3)_{1-x-y}(\text{Sb}_2\text{Se}_3)_x(\text{Sb}_2\text{S}_3)_y$  при  $x = y$ , 4 —  $(\text{Bi}_2\text{Te}_3)_{1-y}(\text{Sb}_2\text{S}_3)_y$ .

Экспериментальные данные, полученные из измерений  $\sigma$  и  $\alpha$ , мы обсудим на примере зависимостей  $\alpha = f(\sigma)$  для твердого раствора  $\text{Bi}_{2-z}\text{Sb}_z\text{Te}_{3-x-y}\text{Se}_x\text{S}_y$  в примесной области при близких концентрациях носителей заряда.

Как видно из рис. 1, значения электропроводности при  $\alpha = \text{const}$  уменьшаются с ростом концентрации атомов второй компоненты при всех значениях  $x, y, z$ . Результаты расчета показывают (рис. 2), что величина  $(m^*/m)^{3/2} \mu_0$  уменьшается с ростом  $x, y, z$ . Из рис. 2 также следует, что наиболее резкие изменения  $(m^*/m)^{3/2} \mu_0$  с составом твердого раствора наблюдаются в области малых концентраций второй компоненты. Подобный анализ был сделан и для других твердых растворов. На рис. 3 приведены зависимости  $(m^*/m)^{3/2} \mu_0$  от состава в  $\text{Bi}_2\text{Te}_{3-x-y}\text{Se}_x\text{S}_y$ . Сравнение данных рис. 2 и 3 показывает, что при одинаковых значениях  $x + y$  введение Sb приводит к дополнительному уменьшению величины  $(m^*/m)^{3/2} \mu_0$ . Это уменьшение может быть связано как с изменением эффективной массы, так и с уменьшением подвижности носителей заряда. Проведенный в работе [9] анализ зависимости величины  $(m^*/m)^{3/2} \mu_0$  от концентрации второй компоненты в твердом растворе  $\text{Bi}_2\text{Te}_{3-x}\text{Se}_x$  показал, что в области малых концентраций ( $x \leq 0.3$ ) изменение  $(m^*/m)^{3/2} \mu_0 \sim m^{*-1}$ . В пользу этого предположения свидетельствуют и данные [10] о значениях  $m^*$  в монокристаллах  $\text{Bi}_2\text{Te}_{3-x}\text{Se}_x$ , рассчитанные на основании измерений гальваномагнитных коэффициентов. Однако при дальнейшем увеличении  $x$  величина  $m^*$  изменяется незначительно (от 0.59 при  $x = 0.3$  до 0.61 при  $x = 0.9$ ). Этот факт не позволяет связывать значительное уменьшение  $(m^*/m)^{3/2} \mu_0$  только с изменениями  $m^*$ . В данной области изменения  $x$

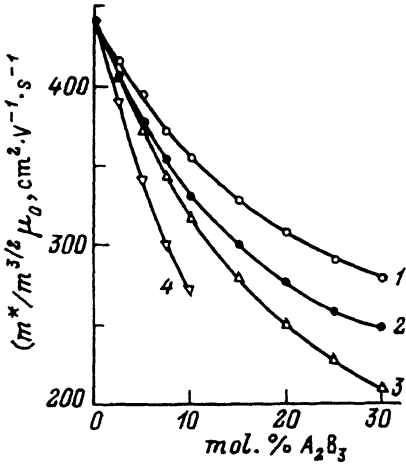


Рис. 3. Зависимость параметра  $(m^*/m)^{3/2} \mu_0$  от состава твердого раствора  $\text{Bi}_2\text{Te}_{3-x-y}\text{Se}_x\text{S}_y$ .

1 —  $(\text{Bi}_2\text{Te}_3)_{1-x}-(\text{Bi}_2\text{Se}_3)_x$ , 2 —  $(\text{Bi}_2\text{Te}_3)_{1-x-y}-(\text{Bi}_2\text{Se}_3)_x-(\text{Bi}_2\text{S}_3)_y$ , при  $x = 2y$ , 3 —  $(\text{Bi}_2\text{Te}_3)_{1-x-y}-(\text{Bi}_2\text{Se}_3)_x-(\text{Bi}_2\text{S}_3)_y$ , при  $x = y$ , 4 —  $(\text{Bi}_2\text{Te}_3)_{1-y}-(\text{Bi}_2\text{S}_3)_y$ .

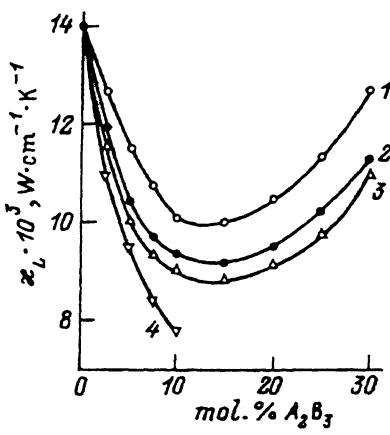


Рис. 4. Зависимость теплопроводности кристаллической решетки  $x_L$  от состава твердого раствора  $\text{Bi}_2\text{Te}_{3-x-y}\text{Se}_x\text{S}_y$ .

1 —  $(\text{Bi}_2\text{Te}_3)_{1-x}-(\text{Bi}_2\text{Se}_3)_x$ , 2 —  $(\text{Bi}_2\text{Te}_3)_{1-x-y}-(\text{Bi}_2\text{Se}_3)_x-(\text{Bi}_2\text{S}_3)_y$ , при  $x = 2y$ , 3 —  $(\text{Bi}_2\text{Te}_3)_{1-x-y}-(\text{Bi}_2\text{Se}_3)_x-(\text{Bi}_2\text{S}_3)_y$ , при  $x = y$ , 4 —  $(\text{Bi}_2\text{Te}_3)_{1-y}-(\text{Bi}_2\text{S}_3)_y$ .

мы должны принимать во внимание влияние рассеяния носителей атомами второй компоненты (в данном случае атомов Se). Таким образом, из данных по зависимостям  $\alpha(\sigma)$ , измеренным для всех указанных выше составов твердых растворов  $n$ -типа на основе  $\text{Bi}_2\text{Te}_3$ , можно сделать заключение, что параметр  $(m^*/m)^{3/2} \mu_0$  непрерывно уменьшается по мере увеличения  $x$ ,  $y$ ,  $z$ . При больших величинах  $x$ ,  $y$ ,  $z$  изменения  $(m^*/m)^{3/2} \mu_0$  становятся более пологими по сравнению с составами, близкими к теллуриду висмута.

Интересной особенностью обладают твердые растворы  $\text{Bi}_{2-z}\text{Sb}_z\text{Te}_{3-y}\text{S}_y$ , в которых растворимость  $\text{Bi}_2\text{S}_3$  (или  $\text{Sb}_2\text{S}_3$ ) не превышает 10 mol. % (т. е.  $x + y \leq 0.3$ ,  $z \leq 0.2$ ). Как видно из рис. 2, 3, в этих материалах значения  $(m^*/m)^{3/2} \mu_0$  уменьшаются наиболее резко по сравнению со всеми другими составами, обладающими как неограниченной растворимостью  $(\text{Bi}_2\text{Se}_3)$ , так и ограниченной (70 mol. %  $\text{Sb}_2\text{Se}_3$  [6], 30 mol. %  $\text{Bi}_2\text{Se}_3 + \text{Bi}_2\text{S}_3$  [4]) растворимостью.

Исследования теплопроводности были выполнены на тех же составах твердых растворов, что и измерения электропроводности и термоэдс. Электронная часть теплопроводности  $\kappa_e$  рассчитывалась с помощью закона Видемана–Франца при  $r = -0.5$ . Величина теплопроводности кристаллической решетки  $x_L$  рассчитывалась как разность между полной теплопроводностью  $\kappa$  и электронной частью  $\kappa_e$  в области примесной проводимости. Зависимости  $x_L$  от состава твердого раствора приведены на рис. 4, 5 при одинаковой концентрации носителей заряда. Как видно из рис. 4, 5 в области малых значений  $x$ ,  $y$ ,  $z$  ( $x \leq 0.3$ ;  $x + y \leq 0.3$ ;  $x + y \leq 0.3$ ,  $z \leq 0.2$ ) величина  $x_L$  уменьшается с ростом концентрации атомов, участвующих в образовании твердого раствора. В материалах, не содержащих Sb (рис. 4), величи-

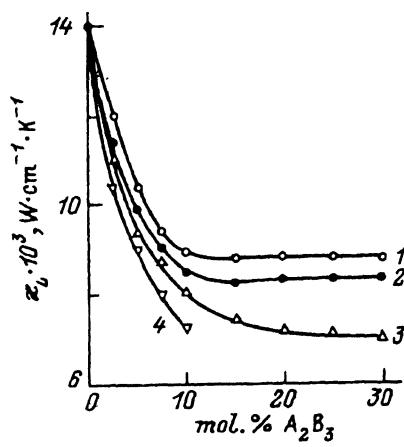


Рис. 5. Зависимость теплопроводности кристаллической решетки  $\chi_L$  от состава твердого раствора  $\text{Bi}_{2-x}\text{Sb}_x\text{Te}_{3-x-y}\text{Se}_x\text{S}_y$ .

1 —  $(\text{Bi}_2\text{Te}_3)_{1-x}(\text{Sb}_2\text{Se}_3)_x$ , 2 —  $(\text{Bi}_2\text{Te}_3)_{1-x-y}-(\text{Sb}_2\text{Se}_3)_x-(\text{Sb}_2\text{S}_3)_y$ , при  $x = 2y$ , 3 —  $(\text{Bi}_2\text{Te}_3)_{1-x-y}-(\text{Sb}_2\text{Se}_3)_x-(\text{Sb}_2\text{S}_3)_y$ , при  $x = y$ , 4 —  $(\text{Bi}_2\text{Te}_3)_{1-y}-(\text{Sb}_2\text{S}_3)_y$ .

на  $\chi_L$  имеет минимум. Этот минимум связан с упорядочением, которое обусловлено полным замещением атомов  $\text{Te}^2$  в пятислойном пакете  $\text{Te}^1-\text{Bi}-\text{Te}^2-\text{Bi}-\text{Te}^1$  атомами Se в твердом растворе  $\text{Bi}_2\text{Te}_{3-x}\text{Se}_x$ . Аналогичная картина, по-видимому, наблюдается и в  $\text{Bi}_2\text{Te}_{3-x-y}\text{Se}_x\text{S}_y$ , где места  $\text{Te}^2$  замещают атомы Se и S. При этом необходимо отметить, что существенного различия в концентрации, соответствующей минимуму зависимости  $\chi_L$  от состава для случаев  $x = 2y$  и  $x = y$ , обнаружить не удалось. В то же время, как видно из рис. 4, кривая  $\chi_L$  для  $x = y$  расположена ниже кривой для  $x = 2y$  во всем интервале измерения концентраций Se и S (см. кривые 3, 4).

В твердых растворах  $\text{Bi}_{2-x}\text{Sb}_x\text{Te}_{3-x-y}\text{Se}_x\text{S}_y$ , где атомы Sb замещают атомы Bi, расположенные в двух эквивалентных слоях квинкета, упорядочения квинкета в целом не происходит. Данное обстоятельство является причиной того, что минимум на кривых зависимостей  $\chi_L$  от состава твердого раствора не наблюдается (рис. 5).

Таким образом, как следует из предыдущего рассмотрения, величины  $(m^*/m)^{3/2}\mu_0$  и  $\chi_L$  уменьшаются вблизи  $\text{Bi}_2\text{Te}_3$  по мере роста концентрации атомов, участвующих при образовании твердого раствора. Однако величина  $(m^*/m)^{3/2}\mu_0$  изменяется менее резко, чем величина  $\chi_L$ . Это является основной причиной роста  $Z$  при 300 К. В области малых концентраций носителей заряда известный вклад может вносить и наличие носителей второго знака, которые исчезают по мере роста ширины запрещенной зоны  $E_g$  с составом [11] твердого раствора. Как видно из рис. 6, величина  $Z$  имеет максимум в  $\text{Bi}_2\text{Te}_{3-x}\text{Se}_x$  при  $x = 0.3$ , при дальнейшем увеличении  $x$  термоэлектрическая эффективность уменьшается. Интересно отметить, что поведение  $Z$  в других твердых растворах  $n$ -типа на основе  $\text{Bi}_2\text{Te}_3$  в целом подобно поведению в составе  $\text{Bi}_2\text{Te}_{3-x}\text{Se}_x$ . Однако некоторое различие все же

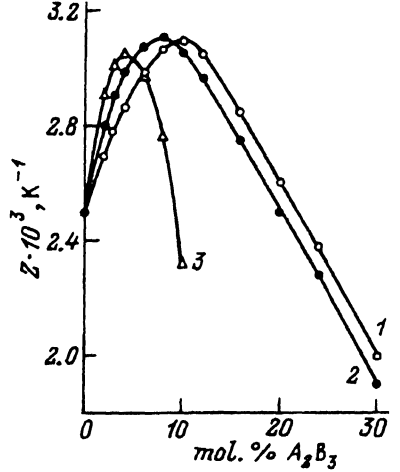


Рис. 6. Зависимость термоэлектрической эффективности  $Z$  от состава твердого раствора  $\text{Bi}_2\text{Te}_{3-x-y}\text{Se}_x\text{S}_y$ .

1 —  $\text{Bi}_2\text{Te}_{3-x}\text{Se}_x$ , 2 —  $\text{Bi}_2\text{Te}_{3-x-y}\text{Se}_x\text{S}_y$ , 3 —  $\text{Bi}_2\text{Te}_{3-y}\text{S}_y$ .

существует. Как видно из рис. 6, значения  $Z \simeq (3-3.1) \cdot 10^{-3} \text{ К}^{-1}$  при 300 К достигаются при различных концентрациях второй компоненты: при  $y = 0.06-0.01$  в  $\text{Bi}_2\text{Te}_{3-y}\text{S}_y$ , при  $x+y=0.24$  в  $\text{Bi}_2\text{Te}_{3-x-y}\text{Se}_x\text{S}_y$ . Аналогичная картина наблюдается и в других твердых растворах, в том числе в  $\text{Bi}_{2-z}\text{Sb}_z\text{Te}_{3-x-y}\text{Se}_x\text{S}_y$ .

В заключение следует отметить, что особенности рассеяния носителей заряда и фононов при 300 К в рассмотренных материалах представляют интерес и при более низких температурах. Различные изовалентные замещения атомов в подрешетках теллурида висмута при этом могут существенно изменять свойства материалов, что позволит расширить области применения термоэлектрических преобразователей.

### Список литературы

- [1] W.M. Yim, F.D. Rosi, Sol. Stat. Electr. **15**, 9, 1121 (1972).
- [2] H.J. Goldsmid. Electronic Refrigeration. Pion Limited. London (1985). 227 p.
- [3] В.А. Семенюк, Л.Д. Иванова, Т.Е. Свечникова. Изв. РАН. Неорган. материалы **31**, 1, 32 (1995).
- [4] Н.Х. Абрикосов, М.Л. Бегларян. Изв. АН СССР. Неорган. материалы **9**, 1529 (1973).
- [5] Е.А. Гуриева, А.И. Заславский, В.А. Кутасов, И.А. Смирнов. ФТТ **7**, 4, 1221 (1965).
- [6] В.Г. Кузнецков, К.К. Палкина. ЖХХ **8**, 5, 1204 (1963).
- [7] W.A. Tiller. Growth and Perfection of Crystals. John Wiley and Sons. Inc. N.Y. (1958). 329 p.
- [8] В.А. Кутасов, Л.Н. Лукьянова. ФТТ **26**, 8, 2501 (1984).
- [9] Б.М. Гольцман, Г.Н. Иконникова, В.А. Кутасов, Ю.И. Равич. ФТТ **27**, 2, 334 (1985).
- [10] O. Beckman, P. Bergvall, K. Tripathi. Ark. für Fys. **B28**, 3, 215 (1965).
- [11] Б.М. Гольцман, В.А. Кудинов, И.А. Смирнов. Полупроводниковые термоэлектрические материалы на основе  $\text{Bi}_2\text{Te}_3$ . Наука. М. (1972). 320 с.